

Problemas com modelagem algébrica: três exemplos para semestres iniciais

João Batista S. de Oliveira¹

¹Faculdade de Informática – Pontifícia Universidade Católica do Rio Grande do Sul (PUCRS)
Av. Ipiranga, 6681 – Porto Alegre – RS

oliveira@inf.pucrs.br

Abstract. *This paper describes three programming problems that are simple enough to be used in the beginning of a CS undergraduate program but also interesting enough to be worth exploring with different approaches. We are able to apply a mixture of programming practices, abstraction and algebraic approaches to the problems, so that these subjects may be presented as complementary and allowing for clear and elegant solutions.*

Resumo. *Este artigo descreve três problemas de programação que são simples o bastante para serem usados no início de um curso de computação e ao mesmo tempo interessantes o bastante para serem explorados de formas diferentes, como técnicas de programação, abstração e modelagem algébrica, de forma que estes assuntos possam ser apresentados como complementares na busca de soluções simples, claras e elegantes.*

1. Introdução e motivação

Em uma descrição abrangente, a computação busca modelar e propor soluções através do uso de computadores para problemas de outras áreas do conhecimento ou da própria computação e uma das tarefas essenciais de um curso na área de computação é mostrar técnicas que podem ser usadas nesta busca de modelos e soluções.

Por outro lado, uma experiência frequente é notar que aspectos complementares desta busca de soluções costumam ser apresentados em disciplinas isoladas, em semestres distantes e que conversam entre si menos do que poderiam conversar. Como consequência, a vantagem costuma ser da disciplina que ocupar o espaço inicial, geralmente uma disciplina de programação enquanto disciplinas que esperam mais formalismo e maturidade serão apresentadas mais tarde. Isto tem a óbvia desvantagem de isolar os assuntos e, para os métodos que vierem depois, a de serem considerados técnicas secundárias ou menos relevantes por estudantes que já sabem resolver o problema sendo abordado, mesmo que de formas mais trabalhosas. Além disso, a separação de assuntos também estimula o uso de descrições diferentes para os mesmos modelos, o que não facilita a integração.

Neste artigo apresentamos três problemas simples o bastante para serem abordados nos semestres iniciais de um curso de computação e que permitem combinar diferentes técnicas de modelagem, fornecendo um bom espaço de atuação a todas e mostrando como elas podem ser usadas em conjunto. Os três problemas são interessantes, não-triviais (para um estudante de semestres iniciais) e permitem abordagens de modelagem que fornecerão soluções limpas e elegantes.

2. Primeiro problema

O primeiro e mais simples problema é retirado do repositório de problemas de concursos de programação da Universidade de Valladolid [1] e denominado “The Errant Physicist”. Ele conta a história de um cientista que deseja escrever um programa capaz de receber dois polinômios de duas variáveis (sempre x e y) em uma notação pouco legível e efetuar sua multiplicação, apresentando o polinômio resultante de forma mais legível como no exemplo abaixo:

```
Entrada 1: -yx8+9x3-1+y
Entrada 2: x5y+1+x3
Saída
  13 2      11      8      6      5 2      5      3      3
- x  y  - x  y  + 8x  y  + 9x  + x  y  - x  y  + x  y  + 8x  + y  - 1
```

Este problema foi originalmente proposto para uso em uma maratona de programação juntamente com vários outros problemas, por isso pode-se esperar que uma solução seja proposta sem grande demora, o que costuma se confirmar em sala de aula. Condições adicionais do problema são as seguintes:

- Os expoentes são sempre números positivos.
- Termos comuns devem ser simplificados. Por exemplo, $40x^2y^3 - 38x^2y^3$ será reduzido a $2x^2y^3$. Termos com coeficiente zero são omitidos.
- Coeficientes iguais a 1 são omitidos, exceto no caso de uma constante 1 como no exemplo.
- Expoentes iguais a 1 são omitidos e potências x^0 e y^0 são omitidas.
- Sinais de + e - tem sempre um espaço em branco à frente e outro atrás.
- A saída é feita em duas linhas, uma para os expoentes e outra para as variáveis e coeficientes.
- Os termos devem ser escritos em ordem decrescente dos expoentes de x e, em caso de empate, em ordem decrescente de expoentes de y .

O problema pode ser dividido em três etapas: leitura das duas entradas fornecidas, cálculo do polinômio resultante (com simplificação) e em seguida a impressão no formato exigido. Embora a leitura das entradas e a posterior escrita do resultado sejam etapas interessantes, nos concentraremos em calcular o produto pois esta costuma ser considerada pelos estudantes a etapa mais sofisticada da solução e obter uma versão elegante para esta etapa causa impacto bastante positivo.

Em busca de uma representação simples, percebe-se que os termos dos polinômios da entrada podem ser representados como triplas informando o coeficiente e os expoentes de x e y como abaixo:

$$-yx8 \equiv -1 * x^8 * y \equiv (-1, 8, 1)$$

e cada polinômio da entrada pode ser representado como uma lista ou conjunto de termos:

$$P_1 = \{(-1, 8, 1), (9, 3, 0), (-1, 0, 0), (1, 1, 0)\}$$
$$P_2 = \{(1, 5, 1), (1, 0, 0), (1, 3, 0)\}$$

Se até este ponto a representação dos polinômios é bastante simples e intuitiva, uma vez que eles estejam disponíveis chega-se à parte mais interessante: o cálculo do resultado, quando os termos de cada polinômio são multiplicados um a um e armazenados:

```

Mult( $P_1, P_2$ ) :
  Res = {};
  para  $t_1 \in P_1$  :
    para  $t_2 \in P_2$  :
      Res = Res  $\cup$   $\{t_1 \otimes t_2\}$ ;
  retorna Res;

```

Figura 1. Multiplicação dos polinômios de entrada.

Evidentemente, a operação \otimes é a peça essencial para terminar o cálculo e pode ser reduzida a uma operação algébrica sobre as tuplas apresentadas:

$$\begin{aligned}
 t_1 &= (c_1, x_1, y_1) \\
 t_2 &= (c_2, x_2, y_2) \\
 t_1 \otimes t_2 &= (c_1 * c_2, x_1 + x_2, y_1 + y_2)
 \end{aligned}$$

Depois de tirar proveito deste modelo algébrico e obter o polinômio desejado, ainda é necessário voltar à implementação para um processo de limpeza do polinômio obtido, retirando-se termos com coeficiente zero e simplificando termos de mesmos expoentes. Em seguida uma etapa de ordenação pode ser aplicada para impressão do resultado. Mesmo este processo simples pode ser usado para explorar novas possibilidades:

- Um processo de limpeza sem ordenar os termos do resultado é simples mas terá desempenho $O(n^2)$ onde n é o número de termos;
- Ordenar os termos de acordo com os expoentes faz com que termos de mesmos expoentes estejam agrupados, o que facilita a simplificação mas exige que dois termos sejam retirados do resultado e um novo com a simplificação seja inserido na posição correta;
- Em qualquer caso, o processo de ordenação permite a construção de um operador \leq sobre as tuplas propostas, explorando mais um aspecto da representação sugerida.

Mesmo uma outra abordagem para este problema fará essencialmente as mesmas tarefas descritas acima pois ele não apresenta uma forma mais simples de solução, mas é muito interessante deixar que os estudantes resolvam o problema, fazendo suas descobertas e depois apresentar a solução em forma algébrica acima dando uma nova clareza à solução obtida e apresentando uma forma alternativa de descrição.

Além de ser simples, razoavelmente interessante e trazer a motivação de estar resolvendo uma tarefa aparentemente complexa, o problema tem outras duas vantagens: uma delas é a disponibilidade de teste das implementações através do site original, pois isto oferece a possibilidade de validação das soluções, bem como acostuma estudantes a exigências de formato de entrada e saída muitas vezes ignoradas em sala de aula ou consideradas pouco importantes.

Outro aspecto interessante é a modelagem com técnicas diferentes em momentos diferentes. Listas e tuplas fornecem as estruturas básicas, uma operação algébrica é introduzida para modelar o produto de termos e outras operações entre listas são necessárias novamente para limpeza e impressão, podendo também ser abordadas de maneira mais formal se desejado. Uma possibilidade de exploração deste problema pode ser a inclusão

de mais variáveis ou a divisão entre polinômios, por exemplo.

3. Segundo problema

O segundo problema tem a virtude de ser aparentemente mais simples e tem pelo menos duas soluções imediatas, uma delas com dois defeitos graves e a outra com (apenas) um defeito grave. A terceira solução, obtida com uma modelagem mais cuidadosa, oferece uma solução muito eficiente. O enunciado é:

Seja a função F_n , que serve para produzir strings:

$$F_n = \begin{cases} A, & n = 0 \\ B, & n = 1 \\ F_{n-1} \oplus F_{n-2}, & n \geq 2, \end{cases}$$

onde o sinal \oplus representa a concatenação de strings. Por exemplo,

$$\begin{aligned} F_0 &= A \\ F_1 &= B \\ F_2 &= BA \\ F_3 &= BAB \\ F_4 &= BABBA \end{aligned}$$

Deve-se determinar quantas vezes uma string S com até 20 caracteres está repetida dentro de uma string F_n , sabendo que $n \leq 50$. Por exemplo, quantas vezes a string AB está em F_{37} ?¹

3.1. Primeiras alternativas

Para um estudante de semestres iniciais, a primeira solução é inevitavelmente tentadora: construir a string F_n desejada e depois contar as ocorrências de S dentro dela. É sempre uma experiência interessante perceber como a certeza vitoriosa ao obter a resposta para casos simples altera-se ao tentar tratar casos maiores onde ela falha por falta de memória e/ou excessivo tempo de execução. Embora decepcionante, essa primeira experiência traz a lição de que a solução para um problema simples não precisa ser tão simples quanto o problema e que soluções nem sempre são universais.

Depois de convencidos da impraticabilidade de construir a string, uma segunda solução se propõe: como a string S a ser procurada tem no máximo 20 caracteres é possível programar a função F_n recursivamente e ao chegar a um de seus casos-base (sempre A ou B) concatena-se esta letra a um buffer S' que inicia vazio e vai sendo aumentado até ter o mesmo tamanho de S , retirando-se sua primeira letra se preciso. A cada nova letra concatenada, se $S' = S$ temos uma nova ocorrência de S dentro de F_n . Esta abordagem é muito interessante, certamente um passo significativo quando considerada como técnica de resolução e embora não sofra mais com falta de memória sofre do mesmo grave problema de desempenho e uma solução efetiva exige uma modelagem mais cuidadosa.

3.2. Outra possibilidade de modelagem

Novas possibilidades surgem quando explora-se a construção de uma das strings F_n . Por exemplo, para F_{32} sabemos que

$$F_{32} = F_{31} \oplus F_{30}$$

¹14930352 vezes.

Embora não pareça muito rico, um exemplo concreto auxilia a constatar alguns fatos:

- O número de ocorrências de S em F_{32} é tão grande quanto os números de ocorrências em F_{31} e F_{30} somados, já que ocorrências não podem ser retiradas.
- Se o número de ocorrências for maior do que esta soma é por que novas strings S foram criadas na junção entre as duas strings.
- A junção onde podem surgir novas ocorrências de S é composta pelos caracteres finais de F_{31} e os caracteres iniciais de F_{30} .
- Na junção, para que tenhamos uma nova ocorrência de S é preciso que um dos lados forneça no mínimo um caractere e o outro forneça no máximo $|S| - 1$ caracteres.
- Adicionalmente, a string resultante F_{32} tem o mesmo início de F_{31} e o mesmo final de F_{30} .

Com estes fatos, percebe-se que usar recursão talvez não seja a melhor alternativa para achar o número de ocorrências de S e no caso de um programa iterativo precisamos apenas somar as ocorrências existentes nas strings anteriores e adicionar as eventuais ocorrências da área de junção. A partir daí, podemos propor que a string produzida por F_n não seja mais construída explicitamente, mas representada por um novo tipo de objeto

$$(P_n, \#_n, S_n)$$

onde P_n e S_n são o prefixo e o sufixo de F_n respectivamente (indo no máximo até $|S| - 1$, portanto não ultrapassando 19 caracteres) e $\#_n$ é a quantidade de ocorrências de S em F_n . A partir daí, os termos iniciais da recorrência podem ser representados por

$$\begin{aligned} A &\equiv ("A", S == "A", "") \\ B &\equiv ("B", S == "B", "") \end{aligned}$$

onde o operador $==$ equivale ao operador de igualdade em linguagem C, retornando 0 se as strings forem diferentes ou 1 se forem iguais. Com esta representação podemos propor uma operação algébrica entre dois destes objetos, produzindo o objeto correspondente à string seguinte. Se

$$\begin{aligned} F_{n-2} &= (P_{n-2}, \#_{n-2}, S_{n-2}) \\ F_{n-1} &= (P_{n-1}, \#_{n-1}, S_{n-1}) \\ F_n &\equiv F_{n-1} \oplus F_{n-2} \end{aligned}$$

então a operação \oplus pode ser definida como

$$F_{n-1} \oplus F_{n-2} = (P_{n-1}, \#_{n-1} + \#_{n-2} + \cap(S_{n-1}P_{n-2}), S_{n-2})$$

onde $\cap(S_{n-1}P_{n-2})$ é uma função auxiliar que conta quantas ocorrências de S estão contidas na concatenação de S_{n-1} e P_{n-2} .

3.3. Uma versão prática

Embora colocado em uma boa direção, este problema não está completamente (nem corretamente) modelado quando chega-se à operação \oplus apresentada: para uma implementação ainda é necessário preencher detalhes e tomar decisões. Por exemplo, os prefixos e sufixos dos casos iniciais da modelagem tem 0 ou 1 caractere e a operação \oplus não alterará seu comprimento, apenas repassa-os ao próximo objeto. Além disso, uma condição que está implícita no modelo é que prefixos e sufixos não se sobreponham. Ou seja, a operação descrita acima ainda não funcionará corretamente e por isso abrem-se possibilidades:

- Adaptar o modelo para iniciar com os prefixos e sufixos dados e fazê-los aumentar até atingirem um tamanho igual a $|S| - 1$. Esta decisão tem a desvantagem de deixar o modelo mais complexo embora possa ser favorecida se deseja-se desenvolver um formalismo completo;
- Por outro lado, já que a string S está limitada a no máximo 20 caracteres, uma boa abordagem prática cria as strings F_n explicitamente até o caso em que elas sejam maiores do que o dobro do tamanho de S e depois retira-se destas strings seus prefixos, sufixos e contadores de ocorrências, criando as tuplas e a partir daí usando a operação \oplus sugerida.

Esta abordagem mista tem a vantagem de manter o modelo simples e mostrar como técnicas diferentes podem ser combinadas em uma mesma tarefa, mantendo a simplicidade em cada etapa e evitando as complicações do uso de apenas uma delas.

4. Terceiro problema

O último e mais interessante problema a ser proposto diferencia-se dos anteriores ao ter menos alternativas óbvias de solução e ao mesmo tempo sua modelagem algébrica é bastante simples. A tarefa é imprimir uma árvore binária correspondente a uma expressão aritmética em um terminal, como no exemplo da Figura 2. As condições do problema são

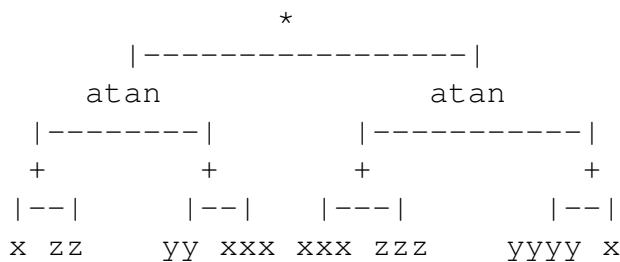


Figura 2. Uma árvore representando uma expressão aritmética.

as seguintes:

- Recebe-se inicialmente a referência para a raiz da árvore e nenhuma informação adicional;
- Todos os nodos da árvore serão folhas ou terão dois filhos;
- Todo o nodo n tem um label $label(n)$ e filhos $left(n)$ e $right(n)$;
- O label de um nodo pode ter tamanho variável como no caso da função de dois argumentos $atan$ no exemplo anterior;
- Assume-se que a versão impressa caberá na largura do terminal.

Existe uma variedade de técnicas diferentes para a tarefa, indo das mais simples até variações bem mais complexas. Enquanto algumas alternativas mais antigas usam algoritmos que podem produzir resultados pouco satisfatórios ou que não tem muita clareza [6, 4], alternativas posteriores [5] já mostram um conjunto mais bem estabelecido de critérios estéticos para um "bom" desenho e são capazes de imprimir árvores não-binárias. Mesmo assim, os algoritmos apresentados ainda sofrem pelas notações e linguagens da época. Em uma versão mais recente e menos ligada a uma linguagem, uma boa descrição desta jornada algorítmica pode ser encontrada em [3], que ao seu final apresenta um algoritmo anterior [2] capaz de imprimir árvores mas que sofre o efeito de já ser apresentado

em uma linguagem (Python). Em sua forma mais comumente aceita, espera-se que um algoritmo para impressão de uma árvore seja capaz de imprimir uma árvore genérica onde os labels de cada nodo possam ser sobrepostos verticalmente, criando uma árvore que é o mais estreita possível como na árvore à esquerda na Figura 3.

Para uma situação inicial, no entanto, optamos por restringir o problema a árvores binárias sem permitir que nodos sejam sobrepostos verticalmente, mesmo que sob estas condições ainda busquemos a representação mais estreita possível e criando representações similares à da árvore direita na Figura 3.

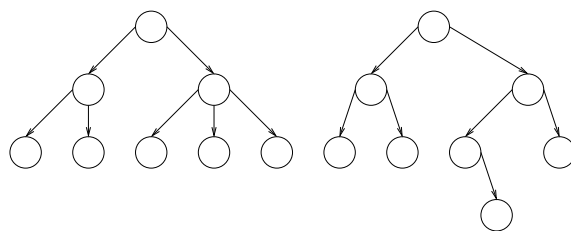


Figura 3. Duas alternativas diferentes para o desenho de árvores.

4.1. Um modelo inicial

Embora o desenho da Figura 3 transmita a noção do que desejamos obter, ele é enganoso em pelo menos um aspecto: os labels colocados nos nodos não terão necessariamente o mesmo comprimento e isto deve ser considerado no posicionamento. Além do label, para reproduzir a Figura 2 também é preciso posicionar a barra horizontal que conecta um nodo aos filhos e que terá coordenadas diferentes das coordenadas do label.

Como essencialmente é preciso decidir linha l_n e coluna c_n para apresentação na tela de cada nodo n , é fácil concluir que a linha adequada para cada nodo pode ser obtida com um caminhamento recursivo que preenche l_n :

```
void Preenche( $n$ ,  $niv$ ) :
    se  $n = NULL$  retorna;
     $l_n = niv$ ;
    Preenche(  $left(n)$ ,  $niv + 1$  );
    Preenche(  $right(n)$ ,  $niv + 1$  );
```

Figura 4. Preenchimento de l_n .

O verdadeiro desafio está no cálculo das coordenadas horizontais para cada nodo, e neste momento o tipo de desenho que desejamos pode ser abstraído pela Figura 5. Ela sugere que seja necessário conhecer a largura de toda a sub-árvore a partir de um nodo n para que o nodo pai de n possa ser posicionado corretamente, mas também sugere que seja útil ter este valor separado em três valores:

- $esq(n)$ e $dir(n)$ guardam as larguras das sub-árvores esquerda e direita de n ;
- $mid(n)$ guarda a largura da parte central de n ;

É possível imaginar que o cálculo destes valores seja recursivo e deve ser feito para os filhos e depois para o nodo pai, que terá seus valores afetados pelos valores dos filhos, e

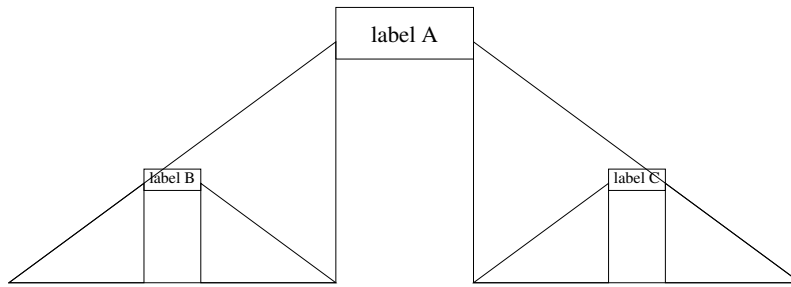


Figura 5. Um modelo abstrato para o desenho.

isso encaixa-se naturalmente no algoritmo esboçado: se precisamos calcular uma tripla $T_n = (esq(n), mid(n), dir(n))$ para cada nodo n , temos o seguinte modelo sugerido pela Figura 5:

$$\begin{aligned} T_B &= (esq(B), mid(B), dir(B)) \\ T_C &= (esq(C), mid(C), dir(C)) \\ T_A &\equiv T_B \wedge T_C \end{aligned}$$

onde a operação \wedge carrega toda a responsabilidade por um cálculo correto. Felizmente a própria Figura 5 sugere como deve ser feita a operação:

$$T_B \wedge T_C \equiv (\sum T_B, size(label(A)), \sum T_C)$$

E assim podemos obter uma versão mais completa do algoritmo inicial:

Tupla Preenche(n, niv):
 se $n = NULL$ retorna Tupla(0, 0, 0);
 $l_n = niv$;
 $T_B = \text{Preenche}(left(n), niv + 1)$;
 $T_C = \text{Preenche}(right(n), niv + 1)$;
 retorna Tupla($\sum T_B, size(label(n)), \sum T_C$);

Figura 6. Um algoritmo alterado para l_n e $(esq(n), mid(n), dir(n))$.

Usando este método para preencher as informações para cada nodo, podemos em seguida fazer seu posicionamento com um novo caminhamento recursivo que posiciona primeiro os nodos à esquerda e depois move o nodo pai para a direita de acordo com o espaço usado, obtendo-se a Figura 7 ainda sem os traços horizontais.

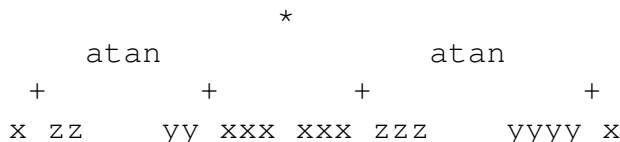


Figura 7. O primeiro resultado obtido, ainda sem as barras horizontais.

Uma variação interessante pode surgir com a percepção de que o papel de $esq(n), mid(n)$ e $dir(n)$ é guardar, embora de forma fracionada, a largura total da sub-árvore ocupada pelo nodo n . Isso sugere testes com o novo algoritmo da Figura 8, que

calcula a largura wid_n da sub-árvore de forma explícita (e fornecendo menos informação do que as três partes isoladamente).

```

int Preenche( $n$ ,  $niv$ ) :
    se  $n = NULL$  retorna 0;
     $l_n = niv$ ;
     $T_B = Preenche(left(n), niv + 1)$ ;
     $T_C = Preenche(right(n), niv + 1)$ ;
     $wid_n = T_B + size(label(n)) + T_C$ ;
    retorna  $wid_n$ ;

```

Figura 8. Um algoritmo reduzido para l_n e wid_n .

Para posicionar as barras abaixo do nodo A , podemos calcular onde estão as coordenadas b_e e b_d das barras esquerda e direita respectivamente usando as informações de seus filhos B e C . Se o nodo A já deve ter um offset of causado por nodos impressos anteriormente, temos

$$\begin{aligned}
 b_e &= of + esq(B) + \lfloor mid(B)/2 \rfloor \\
 b_d &= of + \sum T_B + size(label(A)) + dir(C) + \lfloor mid(C)/2 \rfloor,
 \end{aligned}$$

o que produz a saída da Figura 9. Até este ponto o modelo apresentado é simples e bas-

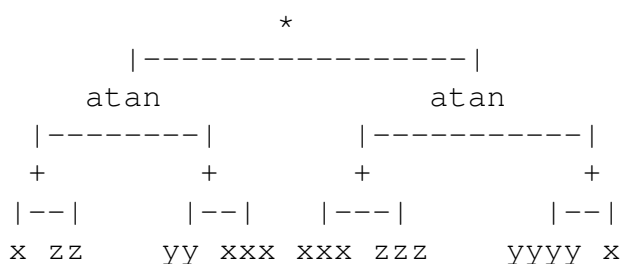


Figura 9. Inclusão das barras horizontais. A árvore não é a mais estreita possível, mas já é uma representação aceitável da original.

tante intuitivo, com a vantagem de adaptar-se a nodos com labels de tamanhos diferentes mas oferece pontos de exploração que não foram desenvolvidos neste artigo:

- A árvore obtida na Figura 9 não é a mais estreita possível. Por exemplo, as sub-árvores abaixo das operações `atan` tem entre elas um espaço correspondente ao tamanho do rótulo do nodo pai, quando apenas um espaço em branco já seria adequado. A busca pela menor largura possível altera a operação \wedge mudando não só o cálculo do componente central de T_A , mas também dos componentes esquerdo e direito:

$$\begin{aligned}
 T_B \wedge T_C &\equiv (\quad esq(B) + \lfloor mid(B)/2 \rfloor, \\
 &\quad \max(\lceil mid(B)/2 \rceil + dir(B) + 1 + esq(C) + \lfloor mid(C)/2 \rfloor, size(label(A))), \\
 &\quad \lceil mid(C)/2 \rceil + dir(C) \quad)
 \end{aligned}$$

- Outra alteração possível é a generalização do modelo para uma árvore não-binária. Realizando-se as mudanças necessárias na operação \wedge sugerida anteriormente, obteremos representações como a da Figura 10.

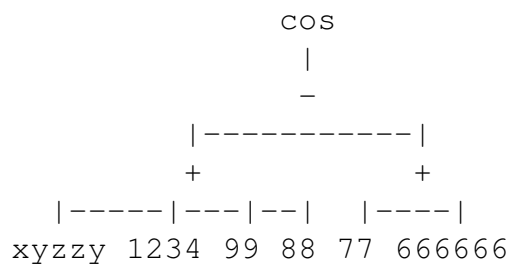


Figura 10. Árvore genérica e com largura mínima.

5. Conclusão

O objetivo deste artigo foi trazer exemplos de problemas envolvendo alguma pergunta interessante a ser respondida, com facilidade de compreensão do problema e algum tipo de solução que seja trabalhosa mas possível já para um aluno dos semestres iniciais. Além disso eles tem duas características importantes: grande simplificação conceitual quando a modelagem da solução é feita com uma percepção algébrica do problema e o fato de que uma solução completamente funcional pode envolver esta modelagem elegante e outros aspectos que fazem parte do dia-a-dia da programação: o uso eficiente de listas e outras estruturas, decisões operacionais como “ordenar e limpar” ou “limpar e ordenar” e a exigência de entrada e saída em formatos precisos, por exemplo.

Referências

- [1] Uva Online Judge, <https://uva.onlinejudge.org>.
- [2] Christoph Buchheim, Michael Jünger, and Sebastian Leipert. Improving Walker’s algorithm to run in linear time, 2002.
- [3] William Mill. Drawing Presentable Trees, <https://lilimlib.github.io/pymag-trees>.
- [4] Jean G. Vaucher. Pretty-printing of trees. *Software: Practice and Experience*, 10(7):553–561, 1980.
- [5] J. Que. Walker, II. A node-positioning algorithm for general trees. *Softw. Pract. Exper.*, 20(7):685–705, July 1990.
- [6] Niklaus Wirth. *Algorithms + Data Structures = Programs*. Prentice Hall PTR, Upper Saddle River, NJ, USA, 1978.